

05.4; 12

© 1992

ДИФФУЗИОННЫЕ ИЗМЕНЕНИЯ В СИСТЕМЕ  
„ТОНКАЯ ПЛЕНКА – ПЛЕНКА YBaCuO”

С. М. В о л о ш к о, С. И. С и д о р е н к о  
И. М. С т е п а н о в

Рассматривая область возможного практического применения ВТСП, следует среди других обозначить одну важную технологическую проблему: разработку стабильных металлических контактов к слоям ВТСП, решение которой в значительной мере определяет надежность соединений ВТСП-элементов с измерительными приборами или источниками питания [1–3].

Металлические пленки в контакте с ВТСП могут выполнять также роль диффузионно-барьерного слоя [4, 5], быть составной частью джозефсоновских контактов [6] и т.д.

Анализ литературных данных показывает, что физические процессы, определяющие стабильность металлических контактов к системе Y–Ba–Cu–O (и др.), требуют дальнейших систематических исследований, в частности представляют интерес изучение температурных воздействий (в интервале 293 – 973 К), которые могут иметь место в различных технологических процессах изготовления приборов, содержащих рабочие ВТСП-элементы. Эти температурные воздействия могут существенным образом повлиять на свойства переходного слоя в системах „металл–ВТСП” и, как следствие этого, на свойства элемента в целом. Система „Ni–YBaCuO” была выбрана как модельная система, удобная для развития методик изучения таких специфических объектов и апробации представлений о закономерностях диффузионных процессов, установленных ранее [7–9], применительно к многокомпонентным системам.

Целью настоящей работы явилось исследование влияния термической обработки в вакууме ( $P = 2 \cdot 10^{-2}$  Па) при температурах 373–773 К на концентрационно-фазовые неоднородности и удельное электросопротивление никелевых контактов к тонким пленкам системы Y–Ba–Cu–O.

Пленочные образцы системы Y–Ba–Cu–O толщиной 500 нм были получены магнетронным методом аналогично [10] на подложки из ситалла ( $T_{\text{подл}} = 873$  К) марки СТ 50–1 при токе и напряжении разряда 1.5 А и 300 В соответственно. При этом использовалась мишень состава  $\text{YBa}_2\text{Cu}_3\text{O}_{7-x}$  производства Уральского завода химических реактивов, получаемая холодным прессованием по методу „золь–гель” (ТУ 6-09-02-487-89).

Слой Ni толщиной 200 нм на поверхность пленки Y–Ba–Cu–O напылялся электронно-лучевым испарением при  $T_{\text{подл}} = 293$  К в вакууме  $2 \cdot 10^{-4}$  Па ( $J = 170$  А,  $U = 5.8$  кВ).

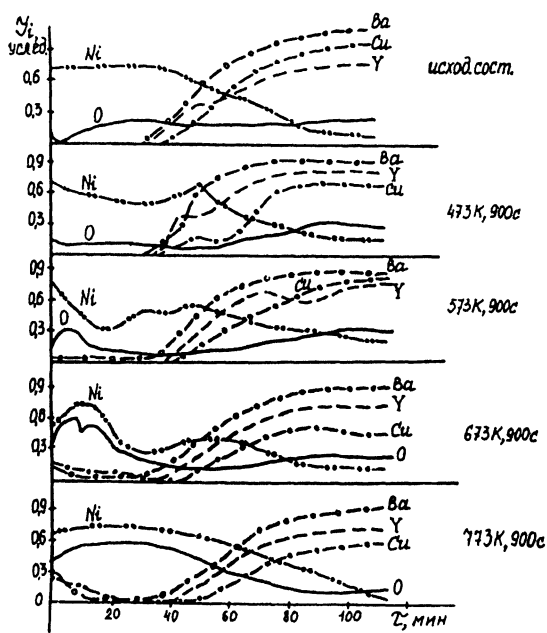


Рис. 1. Зависимости интенсивности тока вторичных ионов от времени распыления для образцов „ $\text{YBaCuO}-\text{Ni}$ “ после отжига в вакууме при различных температурах.

С целью определения концентрационных профилей компонентов применялся метод масс-спектрометрии вторичных ионов [11]. Послойный анализ проводился на установке МС 7201 М с использованием первичных ионов  $\text{Ar}^+$  с энергией 4 кэВ и плотностью ионного тока  $0.4 \text{ mA/cm}^2$ . Использовались также рентгеноструктурный анализ в излучении медного анода и фазовый электронографический анализ „на отражение“ (при ускоряющем напряжении 75 кВ). Электросопротивление образца в целом измерялось четырехзондовым методом в интервале температур 373–773 К.

На рис. 1 представлены данные метода МСВИ об интенсивности токов вторичных ионов компонентов от времени распыления образцов  $\text{YBaCuO}$  после термообработки в вакууме.

В исходном состоянии и при отжиге в вакууме, вплоть до 473 К, наблюдается диффузионное проникновение атомов Ni в пленку металлоксида. Однако, если в исходном состоянии Ni, по данным метода МСВИ, равномерно распределяется по толщине (из этого, однако, не следует, что никель равномерно распределен по объему слоя  $\text{Y}-\text{Ba}-\text{Cu}-\text{O}$ ), то при  $T=473$  К и времени отжига  $t=900$  с фиксируется всплеск интенсивности тока вторичных ионов  $\text{Ni}^+$  на границе раздела пленок.

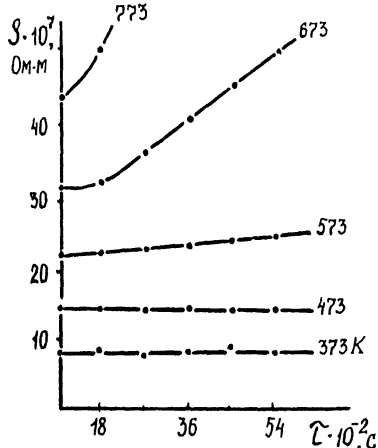


Рис. 2. Временные зависимости удельного электросопротивления для образцов „YBaCuO-Ni”, отожженных в вакууме.

Данные об удельном электросопротивлении (рис. 2) свидетельствуют, что конденсаты Ni в качестве контакта термически стабильны в интервале температур 373–473 К при изотермической выдержке в вакууме в течение 7300 с.

Повышение температуры отжига до 573 К (по данным МСВИ) приводит к массопереносу атомов Ba в пленку Ni (рис. 1). На границе раздела слоев максимум интенсивности тока вторичных ионов  $Ni^{+}$  „размывается”. Так как параметр решетки Ni при этом практически не изменяется по сравнению с исходным состоянием (см. таблицу), то можно сделать вывод об отсутствии диффузионного потока атомов Ba в пленку Ni по объемному механизму.

Данные рентгеноструктурного анализа о параметре решетки Ni ( $\text{\AA}$ ) для образца YBaCuO-Ni

Исходное состояние	Temperatura отжига T, K; $\tau_{\text{отж.}} = 900 \text{ с.}$				
	373	473	573	673	773
3.521	3.522	3.521	3.519	3.514	-

Термообработка в вакууме при 673 К в течение 900 с способствует проникновению атомов Cu сквозь слой Ni. Концентрация бария на внешней поверхности изменяется несущественно по сравнению с температурой 573 К. Значение удельного электросопротивления никеля при этом возрастает. Параметр решетки Ni после отжига в указанных условиях уменьшается, следовательно атомы Cu и Ba проникают в пленку Ni одновременно по зернограниц-

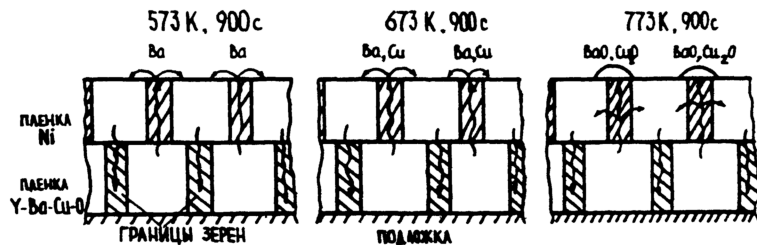


Рис. 3. Схематическое изображение диффузионных процессов в тон-капленочной системе „YBaCuO-Ni“.

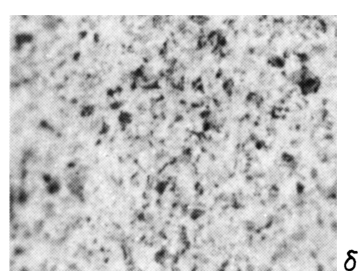


Рис. 4. Микроструктура вакуумно-осажденного слоя Ni в исходном состоянии (а) и после отжига при 773 К в течение 900 с (б).

ному и объемному механизму, принятым для описания диффузионных процессов в многослойных металлических системах [12].

При 773 К наблюдается повышение процентного содержания атомов Ba и Cu в поверхностной области образца YBaCuO-Ni. Фаза Ni не фиксируется рентгенографически, что свидетельствует об интенсивной взаимной диффузии компонентов системы Ni-YBaCuO по объемному механизму. Удельное электросопротивление скачкооб-

разно увеличивается, начиная с первых минут отжига. Результаты электронографического анализа „на отражение” свидетельствуют о формировании на поверхности исследуемого образца оксидов Ba и Cu.

Таким образом, сопоставляя данные рентгеноструктурного анализа, характеризующие объемную диффузию, и данные метода МСВИ, дающие усредненный по площади химический состав, можно сделать вывод, что перенос атомов Ba и Cu в процессе отжига при  $T = 373 - 573$  К происходит главным образом по границам зерен Ni (рис. 3). Скорость этого движения определяется размером зерен и плотностью их границ. Микроструктура вакуумно осажденного слоя Ni приведена на рис. 4.

Полученные результаты о характере диффузионных процессов согласуются с представлениями [8, 13, 14] о массопереносе, как о многостадийном процессе, в частности, с представлениями о том, что процессы фазообразования (в нашей работе оксиды бария и меди), протекающие на внешней поверхности, играют существенную роль в развитии диффузионных процессов в тонких пленках и выступают в качестве дополнительной (наряду с градиентом концентрации) движущей силы процесса массопереноса атомов материала „нижнего” слоя через „верхний”.

Если выходящий на поверхность диффузант отводится (по механизму поверхностной диффузии) в направлении от стыка „граница зерна-поверхность”, или связывается в оксиды, то градиент концентрации не снижается, и движущая сила процесса, обусловленная градиентом концентраций, продолжает действовать достаточно долго.

Таким образом, при исследовании двухслойной композиции „ $\text{YBa}_2\text{Cu}_3\text{O}_7-\text{Ni}$ ” субмикронной толщины в интервале температур 373–773 К экспериментально подтверждена многостадийная модель диффузии (т.е. совокупность процессов, в ходе которых осуществляется массоперенос), включающая в себя: а) диффузию атомов Ba, а затем Cu по границам зерен Ni; б) последовательный выход атомов диффундирующих компонент на внешнюю поверхность Ni; в) накопление диффузантов в приповерхностной области и их окисление; г) проникновение Ba и Cu из граничных прослоек вглубь зерен Ni.

#### Список литературы

- [1] Mizushima K., Sagoi M., Miura T., Yoshida J. // Appl. Phys. Lett. 1988. V. 52. N 13. P. 1101.
- [2] Tzeng Y., Holt A., Ely R. // Appl. Phys. Lett. 1988. V. 52. N 2. P. 155.
- [3] Ekin J., Panson A. // Appl. Phys. Lett. 1988. V. 52. N 4. P. 331.
- [4] Губкин М.К., Панкратов А.И., Оболонская Л.Н. и др. В кн.: Тез. П Всес. конф. по ВТСП, Киев: Наукова думка, 1989. Т. 2. С. 305.

- [5] Накайма Н., Ямагushi S.,  
Jnasaki K. // Appl. Phys. Lett. 1988. V. 53.  
N 15. P. 1437.
- [6] Куприянов М.Ю. // Сверхпроводимость: Физика, химия,  
техника. 1989. Т. 2. № 11. С. 136.
- [7] Сидоренко С.И., Белоус М.В., Богданова А.Ф. // Изв. АН УССР, сер. Неорганические материалы. 1987. Т. 23. № 8. С. 1386.
- [8] Сидоренко С.И. // Изв. АН СССР, сер. Металлы. 1987. № 4. С. 138.
- [9] Волошко С.М., Красюк А.Д., Сидоренко С.И., Черепин В.Т. // Металлофизика. 1987. Т. 9. № 4. С. 59.
- [10] Geerk J., Linker G., Meuer O. // Materials Science Reports. 1989. V. 4. P. 193.
- [11] Черепин В.Т., Васильев М.А. Методы и приборы для анализа поверхности материалов, Киев: Наукова думка, 1982. 399 с.
- [12] Тонкие пленки. Взаимная диффузия и реакция / Под ред. Дж. Поута. К.Ту, Дж. Мейера. -М.: Мир. 1982. 576 с.
- [13] Сидоренко С.И., Котенко И.Е. // Металлофизика. 1986. Т. 6. № 2. С. 54.
- [14] Сидоренко С.И., Белоус М.В., Волошко С.М., Красюк А.Д. // Металлофизика. 1986. Т. 6. № 5. С. 60.

Поступило в Редакцию  
7 мая 1991 г.  
В окончательной редакции  
16 декабря 1991 г.